

**МЕХАНИКА  
ТВЕРДОГО ТЕЛА  
№ 6 · 1983**

УДК 539.3.01

**ЧИСЛЕННАЯ РЕАЛИЗАЦИЯ МЕТОДА ИНТЕГРАЛЬНЫХ  
УРАВНЕНИЙ ПРИ РЕШЕНИИ ПЛОСКИХ ЗАДАЧ ТЕОРИИ  
УПРУГОСТИ ДЛЯ ОРТОТРОПНЫХ СПЛОШНЫХ ТЕЛ И ТЕЛ  
С РАЗРЕЗАМИ**

**[АЛЕКСАНДРОВ А. Я., ЗИНОВЬЕВ Б. М., КАРМАНОВА Т. Ф.]**

Численный метод, первоначально предложенный для упругих изотропных тел [1, 2], был затем распространен на тела из таких анизотропных материалов [3], для которых известно фундаментальное решение о действии сосредоточенной силы внутри упругой плоскости или пространства. В публикуемой работе этот метод развивается применительно к плоским задачам для тел из ортотропных материалов — сплошных и содержащих разрезы.

Действие сосредоточенной силы внутри трансверсально-изотропного упругого пространства рассмотрено в [4], а внутри ортотропной плоскости — в [5]. В [4] даны в явном виде выражения напряжений и смещений<sup>1</sup>, в [5] эти выражения записаны в комплексной форме. Аналогичные, но более удобные, нежели в [5], выражения напряжений и смещений можно получить интегрированием выражений [4] вдоль одной из осей координат<sup>2</sup>, лежащей в плоской изотропии от  $-\infty$  до  $+\infty$ .

1. Напряжения и смещения при действии распределенных сил  $q_1$  и  $q_2$ , изменяющихся по линейному закону (фиг. 1), получены интегрированием решения для сосредоточенной силы<sup>3</sup>. При переходе через нагруженный отрезок  $S$  напряжения изменяются скачкообразно. Разность предельных напряжений  $\Delta\sigma = \sigma^+ - \sigma^-$ , вычисленных при подходе к отрезку  $S$  со стороны положительных ( $\sigma^+$ ) и отрицательных ( $\sigma^-$ ) ординат нормали к  $S$ , можно найти предельным переходом, используя полученные формулы напряжений при действии распределенных сил  $q$ ; при этом скачки напряжений будут выражаться довольно громоздко через модули упругости материала. Здесь получим скачки напряжений иным путем, минуя интегрирование и последующий предельный переход, и выразим эти скачки в более компактной форме через коэффициенты деформации. Индексы у компонент напряжений  $\sigma_{ij}^k$  и распределенных сил  $q_k$  будем относить к осям  $Y_1$ ,  $Y_2$ ; нормальные к плоскости пластинки напряжения обозначим через  $\sigma_{zz}^k$ .

Величина скачка напряжений не зависит от длины нагруженного участка  $S$ . Увеличим длину этого участка до бесконечности в обе стороны, полагая плотность распределенных на нем сил  $q$  постоянной. Плоскость окажется разделенной на две полуплоскости, в каждой из которых все компоненты напряженного состояния будут постоянны. Вырежем из плоскости прямоугольную пластинку с боковыми гранями, перпендикуляр-

<sup>1</sup> В [4] замечены опечатки: в формуле (18) правую часть выражения для  $B_i$  следует домножить на  $v_i$ ; в формуле для напряжений  $\sigma_{13}$  от силы, параллельной плоскости изотропии, во втором слагаемом у сомножителя, взятого в круглые скобки, знак дроби  $2x^2/(R_i^2 R_i^{*2})$  следует изменить на обратный.

<sup>2</sup> См. Зиновьев Б. М., Карманова Т. Ф. Численное решение плоских задач теории упругости для ортотропных тел. Новосибирск, 1981.—24 с. Деп. в ВИНТИ 4.06.81; № 2722-81.

<sup>3</sup> Зиновьев Б. М., Карманова Т. Ф. См. указ. выше публ.: в формуле для  $C_{23}$  знак минус в скобках следует заменить на плюс, в выражении для  $\Phi_6$  в третьем слагаемом  $X_0$  и в формуле  $\Phi_7 r_i$  следует возвести в квадрат.

ными к нагруженному участку  $S$  и содержащую часть этого участка. Из условия равновесия вырезанной пластинки получим

$$\Delta\sigma_{11}^1 = -q_1, \quad \Delta\sigma_{12}^1 = \Delta\sigma_{11}^2 = 0, \quad \Delta\sigma_{12}^2 = -q_2 \quad (1.1)$$

Скачки нормальных напряжений  $\Delta\sigma_{22}$  и  $\Delta\sigma_{33}$  найдем приравняв нулю скачки линейных деформаций  $\varepsilon_{22}$  и  $\varepsilon_{33}$ :  $\Delta\varepsilon_{22} = 0$ ,  $\Delta\varepsilon_{33} = 0$ , где  $\varepsilon_{33}$  — деформация из плоскости пластины. В результате для плоской деформации получим

$$\begin{aligned} \Delta\sigma_{22}^1 &= q_1 \frac{\gamma_{21}}{\gamma}, \quad \Delta\sigma_{22}^2 = q_2 \frac{\gamma_{22}}{\gamma}, \quad \Delta\sigma_{33}^1 = q_1 \frac{\gamma_{31}}{\gamma}, \quad \Delta\sigma_{33}^2 = q_2 \frac{\gamma_{32}}{\gamma} \quad (1.2) \\ \gamma &= a_{22}' - (a_{23}')^2/a_{33}, \quad \gamma_{21} = a_{12}' - a_{13}'a_{23}'/a_{33} \\ \gamma_{22} &= a_{24}' - a_{34}'a_{23}'/a_{33}, \quad \gamma_{31} = (a_{22}'a_{13}' - a_{12}'a_{23}')/a_{33} \\ \gamma_{32} &= (a_{22}'a_{34}' - a_{24}'a_{23}')/a_{33} \end{aligned}$$

В случае плоского напряженного состояния

$$\Delta\sigma_{33} = 0, \quad \Delta\sigma_{22}^1 = q_1 a_{12}'/a_{22}', \quad \Delta\sigma_{22}^2 = q_2 a_{24}'/a_{22}' \quad (1.3)$$

Входящие в (1.2) и (1.3) величины  $a_{ij}'$  есть коэффициенты деформаций в системе координат  $Y_1 Y_2$ , повернутой по часовой стрелке относительно главных осей упругости  $X_1, X_2$ . Они вычисляются по формулам перехода через основные упругие постоянные  $a_{11} = 1/E'$ ,  $a_{12} = a_{13} = -v'/E'$ ,  $a_{22} = a_{33} = 1/E$ ,  $a_{23} = -v/E$ ,  $a_{44} = 1/G$ , где  $E'$  и  $E$  — модули упругости в направлении осей  $X_1$  и  $X_2$ ,  $v$  — коэффициент Пуассона по толщине пластины при растяжении — сжатии вдоль оси  $X_2$ ,  $v'$  — коэффициент Пуассона в направлении оси  $X_2$  при растяжении — сжатии вдоль оси  $X_1$ ,  $G$  — модуль сдвига.

Отметим, что здесь в отличие от изотропного материала касательные силы  $q_2$  вызывают скачки в нормальных напряжениях  $\sigma_{22}^2$  и  $\sigma_{33}^2$ .

Перемещения изменяются непрерывно при переходе через нагруженный участок. С учетом формул скачков напряжения в точках произвольного нагружения отрезка  $S$ , в том числе гладкого криволинейного, исключая его концевые и особые точки, запишутся так:

$$\sigma_{ij}^k(\xi) = \pm \frac{1}{2} \Delta\sigma_{ij}^k(\xi) + \int q_k(\xi) T_{ij}^k(\xi, \zeta) dS_\zeta$$

где  $\sigma_{ij}^k(\xi)$  — напряжение в точке  $\xi \in S$ ,  $T_{ij}^k(\xi, \zeta)$  — напряжение в точке  $\xi$  при действии силы  $P_k = 1$ , сосредоточенной в точке  $\zeta \in S$ .

Полученные формулы скачков напряжений необходимы при исследовании свойств распределенных диполей.

2. Рассмотрим расчет тела с разрезами. Здесь используем специальные силовые возмущения — диполи. Нормальным диполем назовем две равные и разнонаправленные сосредоточенные силы  $P_k$  и  $-P_k$  с общей линией действия, причем  $\lim(P_k a_k) = M_{kk} < \infty$  при  $P_k \rightarrow \infty$ ,  $a_k \rightarrow 0$  ( $k = 1, 2$ ), где  $a_k$  — расстояние между точками приложения сил (плечо диполя). Моментным диполем назовем пару параллельных сил  $P_k$  и  $-P_k$ , лежащих на общей нормали к линиям их действия, причем  $\lim(P_k a_l) = M_{kl} < \infty$  при  $P_k \rightarrow \infty$ ,  $a_l \rightarrow 0$ . Нормальный диполь считаем положительным, если его силы стремятся разойтись; положительный моментный диполь стремится увеличить угол между осями координат, соответствующих индексам  $k$  и  $l$ .

При рассмотрении непрерывно распределенных по криволинейному отрезку  $S$  диполей  $\mu_{kl} = \lim(q_k a_l) < \infty$  при  $q_k \rightarrow \infty$ ,  $a_l \rightarrow 0$  ( $q_k$  — плотность распределенных сил) будем считать, что плечо диполя  $a_l$  всегда перпендикулярно к  $S$ , поэтому в дальнейшем второй индекс в обозначении плотности распределенных диполей  $\mu_{kl}$  уберем. Пусть диполи  $\mu_k$  непрерывно распределены по кривой  $S$ , заданной своим уравнением в декартовой си-

системе координат  $X_1OX_2$ . Введем на  $S$  подвижную систему координат  $Y_1O_1Y_2$ , где ось  $Y_1$  — нормаль к  $S$ , ось  $Y_2$  — касательная. Напряжения в точке наблюдения  $m$ , не лежащей на  $S$ , можно записать так (напряжения при действии диполей пометим штрихом):

$$\sigma'_{ijk}(m) = - \int_S \mu_k(\xi) \frac{\partial T_{ij}^k(m, \xi)}{\partial n} dS_\xi \quad (i, j, k = 1, 2) \quad (2.1)$$

где индекс  $k$  относится к осям  $Y_1O_1Y_2$  с началом в точке истока  $\xi$ . Дифференцирование под интегралом по нормали к  $S$  производится по координатам точки  $m$ . Аналогичным образом можно вычислить и упругие смещения, вызываемые действием распределенных диполей.

Из формулы (2.1) после преобразований получим выражение для разности предельных напряжений  $\Delta\sigma'(\xi) = \sigma'(\xi^+) - \sigma'(\xi^-)$ , вычисленных при подходе к точке  $\xi$  на  $S$  со стороны положительных и отрицательных ординат нормали  $O_1Y_1$  (индексы  $i, j, k$  уберем, вводить их будем по мере необходимости)

$$\Delta\sigma'(\xi) = -\Delta\sigma[\mu(\xi)]/r - \Delta\partial\sigma[\mu(\xi)]/\partial Y_1 \quad (2.2)$$

где  $r$  — радиус кривизны кривой  $S$  в точке  $\xi$ .

В левой части формулы (2.2) стоит скачок предельных напряжений, вызываемых действием распределенных диполей плотности  $\mu(\xi)$ , в правой части формулы фигурирует скачок напряжений  $\Delta\sigma[\mu(\xi)]$ , вызванных действием распределенных сил такой же плотности, что и диполи. Второе слагаемое в правой части есть разность нормальных производных от предельных напряжений. Нормальная производная, как будет показано ниже, заменяется производной вдоль дуги нагруженного отрезка  $S$ .

Первое слагаемое в (2.2) выражается полученными в п. 1 формулами (1.1), (1.2) или (1.3).

Вычислим второе слагаемое формулы (2.2). Здесь покажем вычисления для одной какой-либо компоненты, например  $\sigma_{11}$ . Возьмем соответствующее дифференциальное уравнение равновесия в криволинейной ортогональной системе координат  $S_1$  и  $S_2$  и запишем его для разности предельных напряжений, положив кривизну одной из кривых, например  $S_1$ , равной нулю и заменив  $\partial S_1$  на  $\partial Y_1$ ,  $\partial S_2$  на  $\partial S$

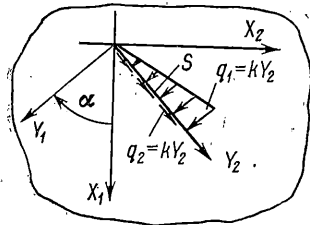
$$\Delta\partial\sigma_{11}/\partial Y_1 = -\partial\Delta\sigma_{12}/\partial S - (\Delta\sigma_{11} - \Delta\sigma_{22})/r$$

где  $r$  — радиус кривизны кривой  $S$ . Входящие в правую часть этой формулы скачки напряжений вычисляются по соответствующим формулам п. 1. Аналогичным образом, с привлечением закона Гука и связей между деформациями и смещениями, можно найти скачки нормальных производных других компонент напряжений, а также и смещений.

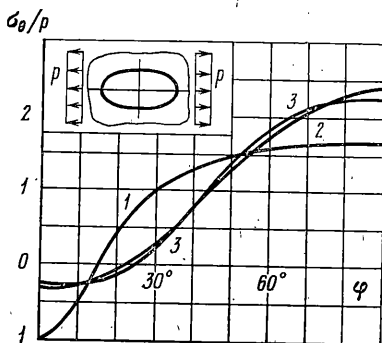
Для плоской деформации скачки напряжений и смещений при действии распределенных диполей записутся так:

$$\begin{aligned} \Delta\sigma'_{11} &= \frac{\partial\Delta\sigma_{12}}{\partial S} - \frac{\Delta\sigma_{22}}{r}, \quad \Delta\sigma'_{12} = \frac{\partial\Delta\sigma_{22}}{\partial S} + \frac{\Delta\sigma_{12}}{r} \\ \Delta\sigma'_{22} &= -\frac{1}{r} \left( 1 - \frac{\gamma_{21}}{\gamma} \right) \Delta\sigma_{22} + \frac{1}{\gamma} \left[ \frac{\partial}{\partial S} \Delta u_2' + \frac{1}{r} \Delta u_1' - \right. \\ &\quad \left. - \gamma_{21} \left( \frac{\partial\Delta\sigma_{12}}{\partial S} + \frac{1}{r} \Delta\sigma_{11} \right) - \gamma_{22} \left( \frac{\partial\Delta\sigma_{22}}{\partial S} + \frac{2}{r} \Delta\sigma_{12} \right) \right] \\ \Delta u_1' &= -(a_{11}' \Delta\sigma_{11} + a_{12}' \Delta\sigma_{22} + a_{13}' \Delta\sigma_{33} + a_{14}' \Delta\sigma_{12}) \\ \Delta u_2' &= -(a_{14}' \Delta\sigma_{11} + a_{24}' \Delta\sigma_{22} + a_{34}' \Delta\sigma_{33} + a_{44}' \Delta\sigma_{12}) \end{aligned} \quad (2.3)$$

Скачки нормальных напряжений из плоскости пластины  $\Delta\sigma'_{33}$  можно найти приравняв нулю скачки поперечных деформаций  $\Delta\varepsilon_{33}'$ . При плоском напряженном состоянии, когда  $\sigma_{33}=0$ , в (2.3) следует заменить  $\gamma$  на  $a_{22}'$ ,  $\gamma_{21}$  на  $a_{12}'$ ,  $\gamma_{22}$  на  $a_{24}'$ . Входящие в (2.3) величины  $a_{ij}'$  являются упругими константами материала в локальной системе координат.



Фиг. 1



Фиг. 2

Записывая в развернутом виде правые части формул (2.3), необходимо обозначение сил  $q$  заменить на  $\mu$ . Из анализа этих формул следует, что разрыв смещений пропорционален плотности распределенных диполей, разрыв напряжений – первой производной плотности, произведению плотности на кривизну нагруженной кривой и на производную упругих характеристик материала вдоль дуги нагруженной кривой.

Из этого можно сделать два практически важных вывода: при численном решении задач теории упругости по методу, изложенному в [3, 6], неизвестные, компенсирующие нагрузки – диполи, нельзя аппроксимировать ступенчато-постоянной функцией, если не принять специальных мер к тому, чтобы учесть скачок напряжений, зависящий от производной плотности; кроме того, криволинейный контур тела или разреза нельзя заменять ломаной линией, даже с очень мелкими прямолинейными участками, так как при этом будет потерян скачок напряжений, зависящий от кривизны контура и от производных упругих характеристик. В отличие от изотропного материала, здесь нормальные диполи  $\mu_1$  вызывают, помимо скачка смещений  $u_1'$ , скачок касательных смещений  $u_2'$ . Свойство распределенных диполей создавать разрывы в смещениях используется в [6] для расчета тел с разрезами<sup>4</sup>.

При решении первой основной задачи, когда на берегах разреза заданы напряжения, вводятся так называемые обобщенные нагрузки – сочетания распределенных диполей и сил, в которых плотности сил подобраны так, чтобы уничтожался скачок напряжений, создаваемый диполями. Нормальная обобщенная нагрузка состоит из нормальных диполей  $\mu_1$  и нормальных и касательных к  $S$  распределенных сил с плот-

$^{(1)} \quad ^{(1)} \quad ^{(1)} \quad ^{(1)}$   
 $q_1 = \Delta\sigma_{11}, \quad q_2 = \Delta\sigma_{12}, \quad \text{где } \Delta\sigma_{11} \text{ и } \Delta\sigma_{12} \text{ – скачки напряжений при действии нормальных диполей. Моментная обобщенная нагрузка состоит из моментных диполей } \mu_2 \text{ и распределенных сил } q_1 = \Delta\sigma_{11}, \quad q_2 = \Delta\sigma_{12}, \quad \text{где } \Delta\sigma_{11} \text{ и } \Delta\sigma_{12} \text{ – скачки напряжений при действии моментных диполей. С учетом формул скачков предельные напряжения и смещения можно записать так:}$

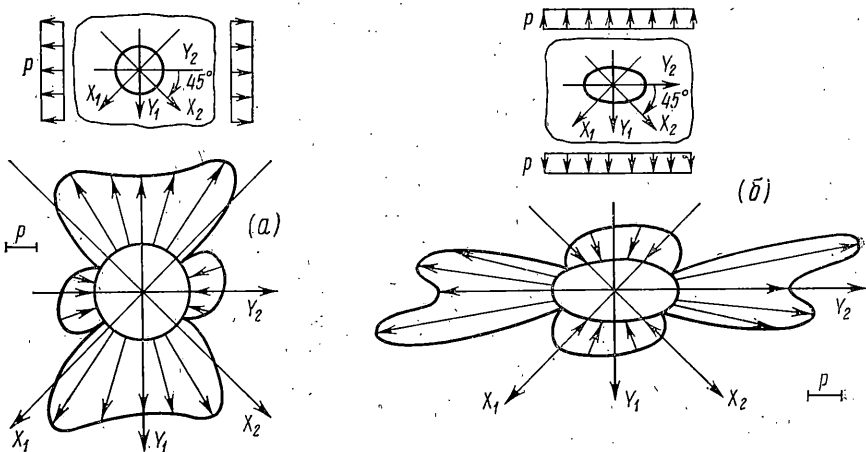
$$\sigma'(\xi) = \pm \frac{1}{2} \Delta\sigma'(\xi) + \int_S \mu(\xi) T'(\xi, \zeta) dS_\zeta$$

$$u'(\xi) = \pm \frac{1}{2} \Delta u'(\xi) + \int_S \mu(\xi) U'(\xi, \zeta) dS_\zeta$$

где  $T'(\xi, \zeta)$  и  $U'(\xi, \zeta)$  – напряжения и смещения в точке  $\xi \in S$  при действии единичного диполя, сосредоточенного в точке  $\zeta \in S$ . Интеграл в первом выражении следует понимать как прямое значение первообразной, так как в смысле главного значения этот интеграл не существует. Вычисления таких интегралов в общем случае затруднительно и требует специальных приемов<sup>5</sup>.

<sup>4</sup> Результаты [6], где нет данных о зависимости скачков напряжений от кривизны нагруженного диполями отрезка, могут использоваться для расчета тел с криволинейными разрезами с учетом полученных здесь результатов.

<sup>5</sup> Для частного случая, когда диполи, изменяющиеся по линейному закону, распределены по отрезку прямой, в работе Б. М. Зиновьева и Т. Ф. Кармановой приведены формулы напряжений и смещений. См. указ. публ. с. 64.



Фиг. 3

3. В качестве примеров были решены некоторые тестовые задачи для эллипса, квадрата и для бесконечной пластиинки с разрезом. При решении использовались формулы напряжений и смещений, возникающих в ортотропной бесконечной пластиинке при действии сил или диполей, распределенных по прямолинейному отрезку и изменяющихся по линейному закону<sup>6</sup>.

1. Уравнение эллипса возьмем в параметрической форме  $x=k_x R \sin \varphi$ ,  $y=k_y R \cos \varphi$  ( $k_x \leq 1$ ,  $k_y \leq 1$ ). При решении внутренней задачи компенсирующие нагрузки (распределенные силы) прикладываем на сторонах многоугольника, описанного около эллипса. Многоугольник строим следующим образом. Интервал изменения параметра  $\varphi$  разбиваем на  $n$  частей  $\Delta\varphi=2\pi/n$  (или  $\Delta\varphi=\pi/n$ , если условия задачи позволяют учесть симметрию), затем около окружности радиуса  $R$  строим описанный многоугольник со сторонами  $\Delta l_i=2R \operatorname{tg}(\frac{1}{2}\Delta\varphi)$  постоянной длины. Окружность преобразуем в эллипс, при этом преобразуется и описанный многоугольник, стороны которого  $\Delta l_i$  становятся неравными. На сторонах этого многоугольника прикладываем неизвестные компенсирующие нагрузки; граничные условия удовлетворяем в точках на контуре эллипса. Каждому участку  $\Delta l_i$  соответствуют две точки на контуре. Общее количество неизвестных составляет  $4n$ . Принимаем  $n=36$ . Для увеличения точности численного решения применялась и другая аппроксимация контура, когда каждый шаг  $\Delta\varphi$  разбивался на  $n_1$  частей, после чего участок  $\Delta l_i$  из прямолинейного превращался в ломаный и описанный многоугольник касался эллипса в  $n \times n_1$  точках вместо  $n$ .

При решении внешней задачи искомые нагрузки прикладываются на сторонах вписанного в эллипс многоугольника.

На фиг. 2 дано сравнение численного решения с аналитическим [7] для плоскости с эллиптическим отверстием ( $k_x=-1/3$ ,  $k_y=1$ ), равномерно растягиваемой на бесконечности вдоль большой оси эллипса. Оси эллипса ориентированы вдоль главных осей упругости материала пластиинки. Задача решена с учетом симметрии – граничные условия удовлетворялись в точках одной половины контура эллипса с учетом действия компенсирующих нагрузок на всех участках  $\Delta l_i$ . Сравниваются нормальные контурные напряжения, бе на площадках, перпендикулярных к контуру отверстия. Кривая 1 соответствует изотропному материалу (здесь точное и численное решения практически совпадают); кривая 2 – точное решение для ортотропного материала, кривая 3 – численное решение.

На фиг. 3 даны результаты точного [8] и численного решений для ортотропной пластиинки с круговым (a) и эллиптическим отверстиями (b). Главные оси упругости пластиинки повернуты на  $45^\circ$  относительно направления растягивающих сил. Аналитическое и численное решения практически совпадают.

Рассмотрим тестовую задачу с более сложными граничными условиями. Точное решение получим так: в сплошной бесконечной пластиине приложим сосредоточенную силу, от ее действия на контуре эллипса вычислим напряжения и смещения, которые и примем за граничные условия при решении соответственно первой или второй основной задачи. При решении внутренней задачи силу приложим на расстоянии  $2R$  от центра эллипса, при решении внешней – в центре эллипса. Силу ориентируем вдоль одной из осей эллипса, которые направлены вдоль главных осей упругости.

<sup>6</sup> Зиновьев Б. М., Карманова Т. Ф. Указ. публ. с. 64.

$N$	$\sigma_{\theta}^{(1)}$	$\sigma_{\theta}^{(2)}$	$\xi, \%$	$\sigma_{\theta}^{(2)}$	$\xi, \%$	$\sigma_{\theta}^{(2)}$	$\xi, \%$
1	1,23	1,31	-6,54	1,19	2,96	1,22	0,18
2	0,34	0,47	49,3	0,47	-39,4	0,32	4,88
3	-0,74	-0,61	16,6	-0,76	-3,34	0,72	2,43
4	-1,64	-1,69	-3,44	-1,59	3,03	-1,65	-0,76
5	-2,23	-2,16	3,06	-2,23	0,03	-2,22	0,66
6	-2,54	-2,55	-0,32	-2,52	0,73	-2,54	-0,19
7	-2,63	-2,60	1,33	-2,62	0,40	-2,62	0,36
8	-2,59	-2,57	0,59	-2,58	0,34	-2,59	0,04
9	-2,46	-2,45	0,52	-2,45	0,63	-2,46	0,18
10	-2,29	-2,26	1,29	-2,29	0,13	-2,28	0,22
11	-2,09	-2,10	-0,24	-2,08	0,84	-2,09	0,04
12	-1,89	-1,85	1,97	-1,89	0,14	-1,88	0,38
13	-1,67	-1,69	-1,09	-1,66	1,03	-1,68	-0,48
14	-1,46	-1,41	2,64	-1,46	-0,50	-1,45	0,52
15	-1,23	-1,26	-2,11	-1,22	1,24	-1,24	-0,40
16	-1,04	-0,97	3,53	-1,02	-0,99	-1,00	0,70
17	-0,77	-0,80	-3,87	-0,76	1,81	-0,78	-0,75
18	-0,54	-0,50	6,05	-0,55	-2,02	-0,53	1,16
19	-0,30	-0,33	11,4	-0,28	5,23	-0,30	-2,18
20	-0,06	-0,03	48,8	-0,08	-16,3	-0,06	8,94
21	0,14	0,10	30,8	0,17	-15,3	0,14	5,73
22	0,32	0,36	-10,6	0,31	3,27	0,33	-1,80
23	0,45	0,38	13,6	0,47	-5,86	0,44	2,78
24	0,50	0,48	3,36	0,50	-0,44	0,49	1,08

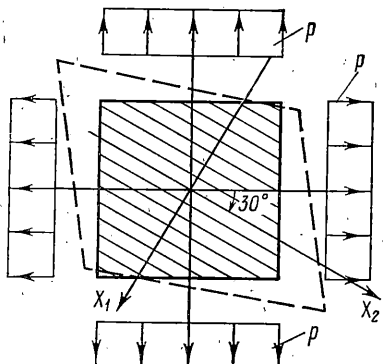
гости. При решении полагалось  $E'=55,8$  ГПа,  $E=3,9$  ГПа,  $v=v'=0,277$ ,  $G=5,58$  ГПа,  $k_x=0,8$ ,  $k_y=1$ ,  $R=10$  см.

В таблице даны результаты решения первой основной внутренней задачи при различных  $n_1$ ; приведены точные значения контурных напряжений  $\sigma_{\theta}^{(1)}$ , приближенные  $\sigma_{\theta}^{(2)}$  (для  $n_1=1, 3, 5$ ) и погрешности  $\xi$  для точек одной половины контура пластиинки. С увеличением  $n_1$  погрешности заметно уменьшаются. Погрешности изменяются от точки к точке, достигая наибольших значений там, где напряжения минимальны, и уменьшаясь до десятых долей процента, в зоне наибольших по абсолютной величине напряжений. В таблице значения напряжений даны с точностью до сотых долей, поэтому имеют место случаи, когда численное решение совпадает с точным, однако погрешность не равна нулю.

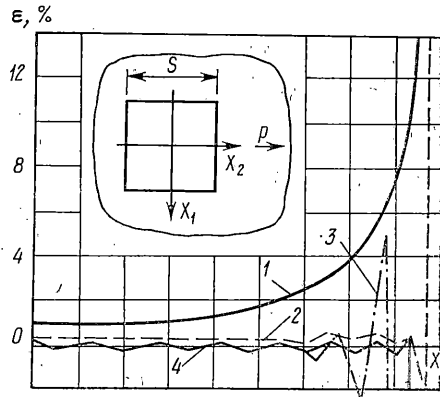
Были просчитаны первая внешняя, а также вторая внешняя и внутренняя задачи; погрешности численного решения изменяются в тех же пределах, что и приведенные в таблице.

2. Для квадрата приведены результаты решения внутренней задачи. На фиг. 4 штрихами показан деформированный вид равномерно растягиваемой квадратной пластиинки, стороны которой составляют угол  $30^\circ$  с главными осями упругости. Сторона квадрата  $S$  разбивалась на участки  $\Delta S_i$  переменной длины, уменьшающейся к угловым точкам

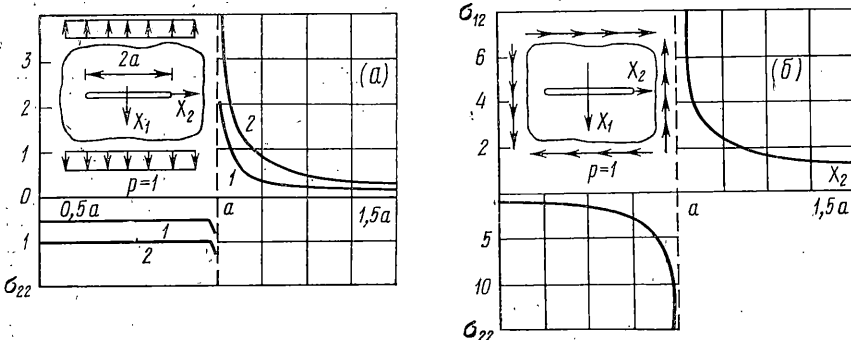
$$\Delta S_i = \frac{1}{2}S \{\cos[\pi(i-1)/n] - \cos(\pi i/n)\} \quad (i=1, \dots, n)$$



Фиг. 4



Фиг. 5



Фиг. 6

При решении принималось  $n=10$ ,  $E'=55,8$  ГПа,  $E=3,9$  ГПа,  $v'=0,277$ ,  $G=5,58$  ГПа,  $S=10$  см.

Результаты решения тестовой задачи, когда точное решение получалось как результат действия сосредоточенной силы в бесконечной пластине, представлены на фиг. 5; сила приложена на расстоянии  $S$  от центра квадрата, направленна вдоль оси симметрии, совпадающей с главной осью упругости. Задача решена с учетом симметрии. Графики изображают распределение погрешностей на половине вертикальной правой кромки в нормальных напряжениях по площадкам, перпендикулярным к кромке пластинки. Кривые 1 и 2 соответствуют решению первой основной задачи с участками  $\Delta S_i$  постоянной и переменной длины при  $n=18$ ; кривые 3 и 4 соответствуют решению второй основной задачи с участками  $\Delta S_i$  постоянной и переменной длины. При переменном шаге, решение значительно улучшается, так как зона наибольших погрешностей ( $\xi \geq 10\%$ ) сдвигается к угловой точке, занимая около 1/40 от длины кромки. Как показывают результаты решения внешней задачи для квадрата, во входящих углах зона больших погрешностей при переменном шаге не выходит за пределы первого от угловой точки участка. Погрешности в смещениях при решении первой основной задачи примерно на порядок меньше погрешностей в напряжениях как в первой, так и во второй задачах. При решении принималось  $E'=55,8$  ГПа,  $E=13,8$  ГПа,  $v'=0,277$ ,  $G=5,58$  ГПа.

Приведенные результаты по решению задач для эллипса позволяют сделать заключение о том, что чем плотнее аппроксимирующий многоугольник охватывает криволинейный контур, тем выше точность численного решения при одинаковом числе неизвестных. Возрастание точности носит затухающий характер. Из численных экспериментов с квадратом следует, что в окрестности особых точек длины участков должны уменьшаться с приближением к этой точке. Необходимо количество участков и закон их изменения в окрестности особой точки можно оценить сравнивая численные решения задачи при различной разбивке контура на участки.

3. На фиг. 6 даны результаты решения задачи для пластинки с прямолинейным разрезом, ориентированным вдоль главной оси упругости.

Решение задач теории упругости для тел с разрезами с учетом асимптотики напряжений в окрестности вершин разреза излагается в [9]. Здесь для учета особенности напряжений применяется разбивка на участки переменной длины, уменьшающиеся к его вершинам; асимптотика напряжений при этом схватывается достаточно точно. При решении использовались моментные и безмоментные обобщенные нагрузки. На фиг. 6, а приведены эпюры напряжений для пластинки, растягиваемой равномерно на бесконечности поперец разреза: кривая 1 соответствует ортотропному материалу с  $E'=55,8$  ГПа,  $E=13,8$  ГПа,  $v'=0,4$ ,  $G=3,96$  ГПа; кривая 2 — изотропному материалу с  $E=E'=55,8$  ГПа,  $v=0,25$ . Задача решена с учетом симметрии, разрез разбивался на 80 участков переменной длины. Напряжения вычислены в точках на оси  $Ox_2$ .

Эпюры касательных  $\sigma_{12}$  (кривая 1) и нормальных  $\sigma_{22}$  (кривая 2) напряжений для пластинки с разрезом, нагруженной на бесконечности касательными напряжениями постоянной величины, приводятся на фиг. 6, б.

#### ЛИТЕРАТУРА

- Александров А. Я. Об одном приближенном методе решения плоских контактных задач теории упругости.— Тр. Новосиб. ин-та инж. ж.-д. трансп., 1955, вып. 11, с. 5—28.
- Александров А. Я. Некоторые решения осесимметричных контактных задач теории упругости.— Тр. Новосиб. ин-та инж. ж.-д. трансп., 1955, вып. 11, с. 29—61.
- Александров А. Я. Решение основных трехмерных задач теории упругости для тел

- произвольной формы путем численной реализации метода интегральных уравнений.— Докл. АН СССР, 1973, т. 208, № 2, с. 291–294.
4. Pan Y.-C., Chon T.-W. Point force solution for an infinite transversely isotropic solid.— Trans. ASME. Ser. E. J. Appl. Mech., 1976, v. 43, No. 4, p. 608–612.
  5. Лехницкий С. Г. Анизотропные пластинки. М.–Л.: Гостехиздат, 1947. 364 с.
  6. Александров А. Я., Зиновьев Б. М. Численное решение задач теории упругости для тел с разрезами.— Изв. АН СССР. МТТ, 1978, № 5, с. 89–93.
  7. Савин Г. Н. Распределение напряжений около отверстий. Киев: Наук. думка, 1968. 887 с.
  8. Лехницкий С. Г. Теория упругости анизотропного тела. М.: Наука, 1977. 415 с.
  9. Александров А. Я., Зиновьев Б. М., Куршин Л. М. Об одном численном методе решения задач теории упругости с учетом особенностей напряженного состояния вблизи угловых точек и линий.— Изв. АН СССР. МТТ, 1980, № 3, с. 39–49.

Новосибирск

Поступила в редакцию  
14.II.1983